

中国工業技術試験所 正員 ○早川典生
高杉由夫

1. まえがき

時間の関数として多少ともランダム性をもつデータを解析する手法として、自己相関関数とパワースペクトラムを計算することは固定した技術であると思われる。これらの量の計算法としては自己相関関数からパワースペクトラムへと計算をすすめる、いわゆる Blackman-Tukey [2] の方法が以前から知られているが、最近非常に高速のフーリエ変換法(FFT)を用いて直接パワースペクトラムを計算する方法(Cooley-Tukey 法)が使われはじめた。しかもこの方法を用いれば、自己相関係数の計算でさえもまず FFT を用いてパワースペクトラムを計算し、その結果を再度 FFT を用いて逆フーリエ変換した方が、直接計算するよりもはるかに高速に行なわれることが報じられている[1]。筆者達は潮汐および潮流データを解析する必要から、この二種の方法を比較検討する機会を得たのでここに報告する。

2. Blackman-Tukey (B-T) 法

この方法は周知の手法であるのでここでは記述を省略する。図-1 の左半分はこの方法を Flow Chart で示したものである。ここで m は 最大遅れ数を与える。

3. Cooley-Tukey (C-T) 法

ここでは B-T 法で得られる情報と同質および同量の情報を得るために筆者達の用いている方法について述べる。この手法のステップは図-1 の右半分に示してある。

定常ランダム過程の長さ T , N 個のデジタル化されたデータ

$x_i = x(ih)$, $i = 1, 2, \dots, N$
($Nh = T$) が与えられたものとする。最初のステップはこれにゼロ值データを同数だけ加えることである。

$x_i = 0$, $i = N+1, \dots, N_2 = 2N$ (1)
このステップは最終的に求まる自己相関関数が「循環的」であるための誤差を取り除くために必要なものである。

[2] 次のステップはデータの長さが有限であるために生じる leakage を除くために極らかの window を乗すことである。この window として cosine bell を乗せるが、あるいはその代りに、次のステップの FFT で求められたフーリエ係数を hanning することも可能である。この過程は B-T 法において自己相関

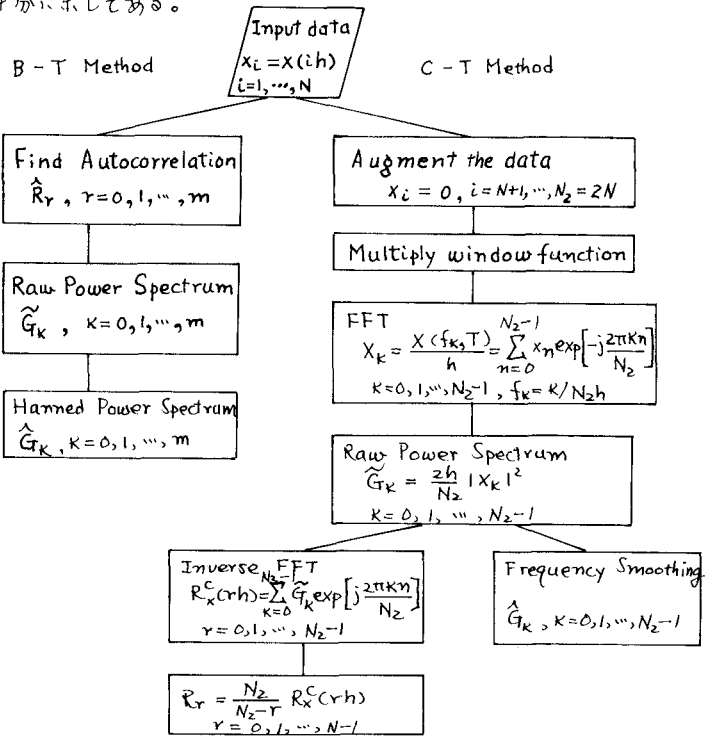


図-1 Blackman-Tukey 法と Cooley-Tukey 法の比較

関数からパワースペクトラムを求める時の hanning と同じである。

しかしながら、C-T法では cosine bell または hanning を使用するよりも、帯域中と統計的安定性をバランスさせるために、Bingham 他 [1] はもっと頭の平らな window を用いることを提案している。この window は解析しようとするデータが信号的であるか雜音的であるか、すなはち帯域中を狭くして卓越周波数を探すのが目的か、あるいは雜音の大きさを精度よく求めるのが目的かの用途によって選ぶべきものである。筆者達は Bingham 他の提案に従って次式を採用している。

$$\left. \begin{array}{ll} (1-a)^{-1} \left\{ 1 - \cos \left(\frac{\pi t}{aT} \right) \right\} & , \quad 0 < t < aT \\ (1-a)^{-1} & , \quad aT < t < (1-a)T \\ (1-a)^{-1} \left\{ 1 - \cos \left(\frac{\pi(T-t)}{aT} \right) \right\} & , \quad (1-a)T < t < T \end{array} \right\} \quad (2)$$

ここで a は 0 と 0.5 の間のパラメータであり、 $a=0$ の時は何もしない box car であり、 $a=0.5$ の時は cosine bell である。参考までに $a=0$ と $a=0.5$ の時の上式のフーリエ変換を図-2 に示す。図から cosine bell は box car に比べて leakage は少ないが、その代りに帯域中は大きくなっていることを注目したい。

第3のステップはこの処理されたデータを FFT を用いてフーリエ変換することであり、第4のステップは生のパワースペクトラム \tilde{G}_k を計算することである。この \tilde{G}_k を再び FFT を用いて逆フーリエ変換すれば、循環的相関関数 $R_x^c(ch)$ が求まりこれを補正すれば自己相関関数 $R_x(ch) = R_y$ が求まる。 \tilde{G}_k はさらに移動平均またはアンサンブル平均により誤差を少なくて最終的にパワースペクトラム G_k を得る。

4. 速度比と計算例

両方法の計算速度の理論的比較の根拠は文献 [1, 2] に与えられている。B-T 法では Nm 回の累加演算が必要であり、筆者達の C-T 法では各 FFT で $4N_2 \log_2 N_2$ 回の累加演算が必要であるから、両手法の速度比は $Nm / (4N_2 \log_2 N_2) = m / (16 \log_2 N_2)$ である。筆者達は 3 種類の長さのデータについて IBM 370/185 と IBM SLHATH の FFT サブルーチンを用いて計算し、両手法に要した CPU 時間を比較してみた。表-1 がその結果でありここで $m = N/10$ にとった。同表より実際の速度比は理論上の速度比を上まわることがわかる。これは FFT サブルーチンの効率的なプログラミング、特に三角関数の計算法の相異によるものと思われる。図-1 からわかるように C-T 法を用いて、B-T 法と同量の自己相関関数を求めることが目的ならば、 m 個のデータを使えばよく C-T 法の方がはるかに速い。筆者達の 8192 点の計算では 819 個の自己相関係数値の比較で両手法による差異は 5% 以内であった。

5. 謝辞

この報告の準備には石川島播磨重工業吳造船所所有の電子計算機を使用した。同所吳コンピュータ課小郡元氏および石岡克英氏の協力に感謝する。この研究は環境防護工の公害防止技術特別研究の一部としてなされた。

6. 参考文献

1. C. Bingham et al., IEEE Trans. on Audio and Electroacoustics, Vol. AU-15, No. 2, 1967, pp. 56
2. J. S. Bendat and A.G. Piersol, Wiley Interscience, 1971

N	B-T 法 SEC	C-T 法 SEC	速度比	理論速度比
8192	229.22	34.93	6.7	3.7
2048	19.17	8.62	3.2	1.2
256	2.27	1.96	1.2	0.2

表-1 B-T 法と C-T 法の計算時間の比較

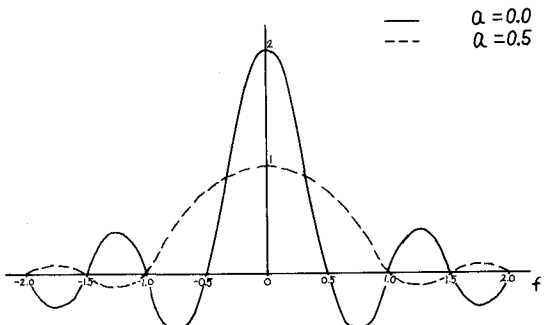


図-2 フィルタ関数の比較